

# Relation diffusion activité chimique dans les verres d'oxydes

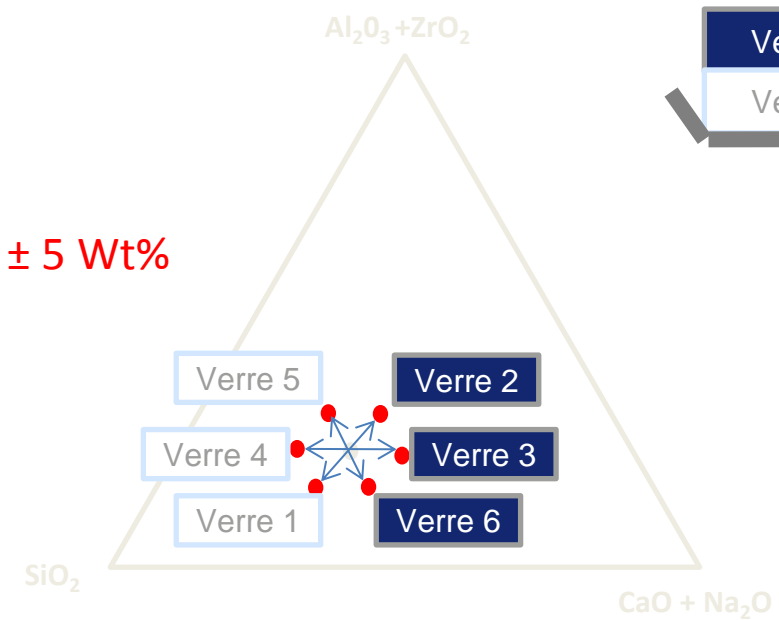
E.Burov, E.Gouillart, M.Ficheux, Q.Tissier

*SVI, Unité Mixte CNRS/Saint-Gobain SVI*

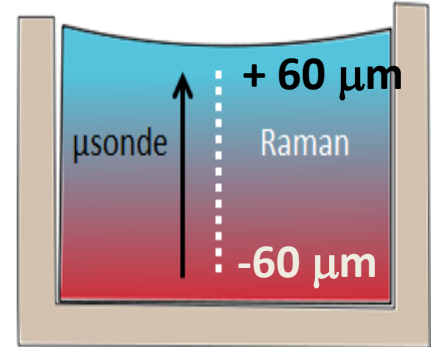


# DIFFUSION MODEL AND DATA

- $\text{Na}_2\text{O} - \text{CaO} - \text{SiO}_2$  (NCS, W. Woelffel)      **6 Glasses => 3 couples**
- $\text{Na}_2\text{O} - \text{Al}_2\text{O}_3 - \text{SiO}_2$  (NAS, V. Pukhkaya)      **6 Glasses => 3 couples**
- $\text{Na}_2\text{O} - \text{CaO} - \text{Al}_2\text{O}_3 - \text{SiO}_2$  (NCAS, C. Claireaux)      **12 Glasses => 6 couples**
- $\text{Na}_2\text{O} - \text{CaO} - \text{Al}_2\text{O}_3 - \text{SiO}_2 - \text{ZrO}_2$  (NCASZ, M. Ficheux)      **20 Glasses => 10 couples**
- $\text{Na}_2\text{O} - \text{B}_2\text{O}_3 - \text{SiO}_2$  (NBS, H. Pablo)      **6 Glasses => 3 couples**



T, °C  
 Traitement thermique  
 Time



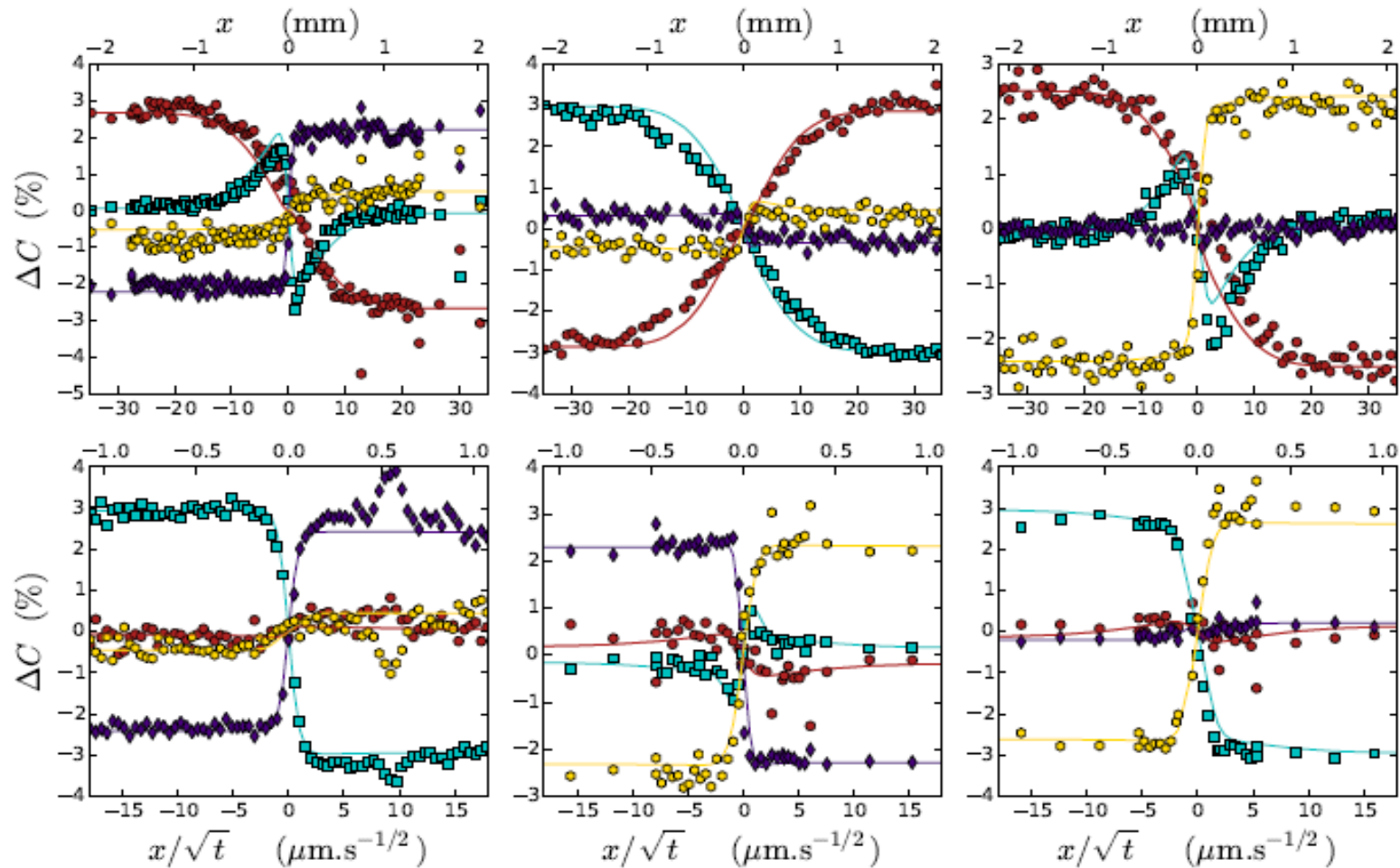
## A lot of glass composition!



# DIFFUSION MODEL AND DATA

Plus de dix compositions par une couple de diffusion,

●  $\text{Na}_2\text{O}$     ■  $\text{CaO}$     ◆  $\text{Al}_2\text{O}_3$     ●  $\text{SiO}_2$



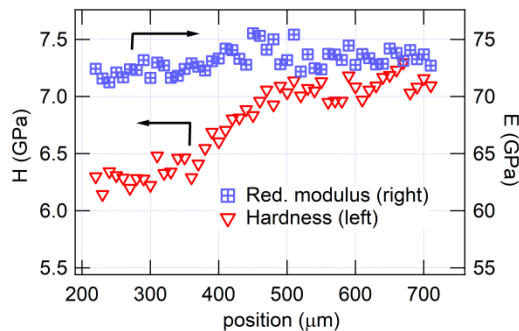
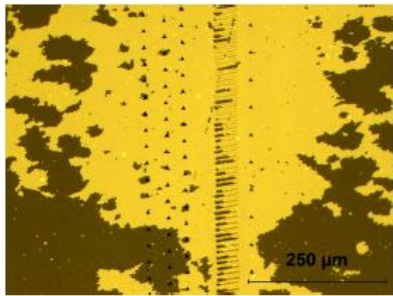
[Claireaux et al., 2016] GCA

*Important Data set of glass composition*

*Study Properties vs composition*

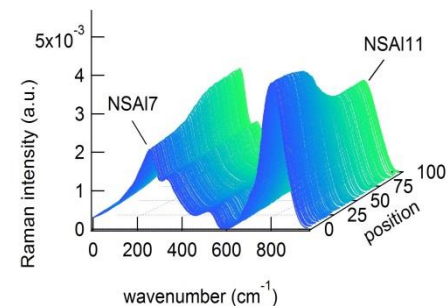
### NAS plasticity study

V. Pukhkaya & E. Bartel, GOMD, 2018



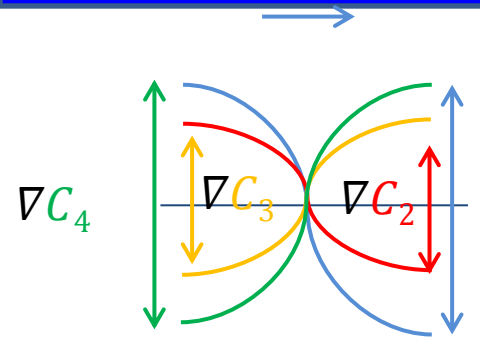
*Diffusion model for multicomponent systems*

- **Gouillart E.**  
Atelier de Diffusion, 13sep. 2018  
HDR, 19 octobre 2018
- **Ficheux M.** Thèse en cours,  
soutenance fin année
- **Projet ANR MAGI:**  
2 thèses en démarrage



1. Inclure aspect thermodynamique dans le modèle *prédictif*
2. Utiliser les données des profils de diffusion pour nourrir et valider le model thermodynamique du verre

# MODEL de DIFFUSION



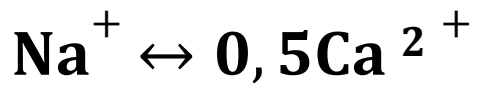
## Fick's Law

$$\frac{\partial}{\partial t} \begin{pmatrix} C_{Na} \\ C_{Ca} \\ C_{Al} \\ C_{Si} \end{pmatrix} = \begin{pmatrix} D_{Na,Na} & D_{Na,Ca} & D_{Na,Al} & D_{Na,Si} \\ D_{Ca,Na} & D_{Ca,Ca} & D_{Ca,Al} & D_{Ca,Si} \\ D_{Al,Na} & D_{Al,Ca} & D_{Al,Al} & D_{Al,Si} \\ D_{Si,Na} & D_{Si,Ca} & D_{Si,Al} & D_{Si,Si} \end{pmatrix} \frac{\partial^2}{\partial x^2} \begin{pmatrix} C_{Na} \\ C_{Ca} \\ C_{Al} \\ C_{Si} \end{pmatrix}$$

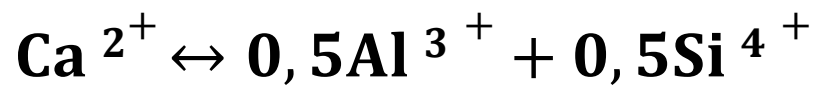
**Eigenvectors :**  
Reaction direction  
in the composition space

**Eigenevalues :**  
Exchange frequency

### Dominant eigenvector



### Second eigenvector (52x less frequent)



### Third eigenvector (155x less frequent)

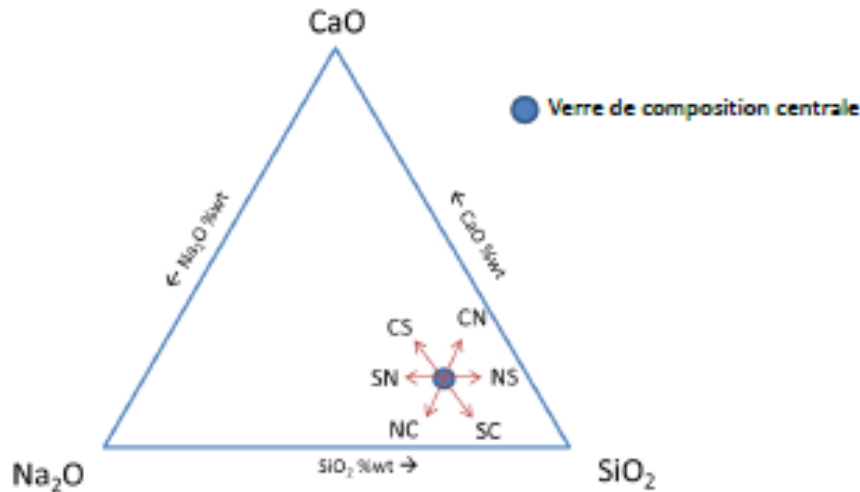


### Fourth eigenvector



# MODEL de DIFFUSION pour NCS

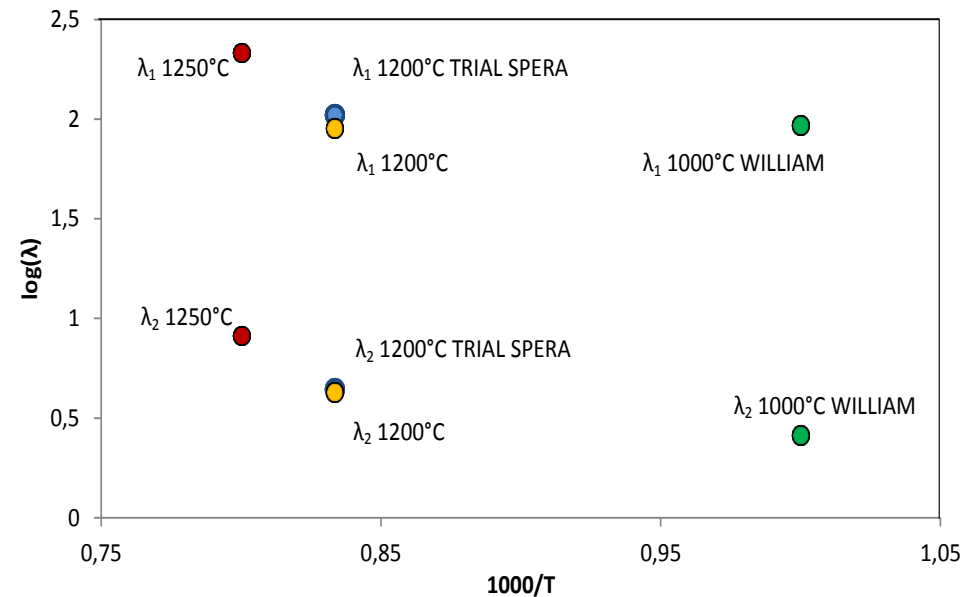
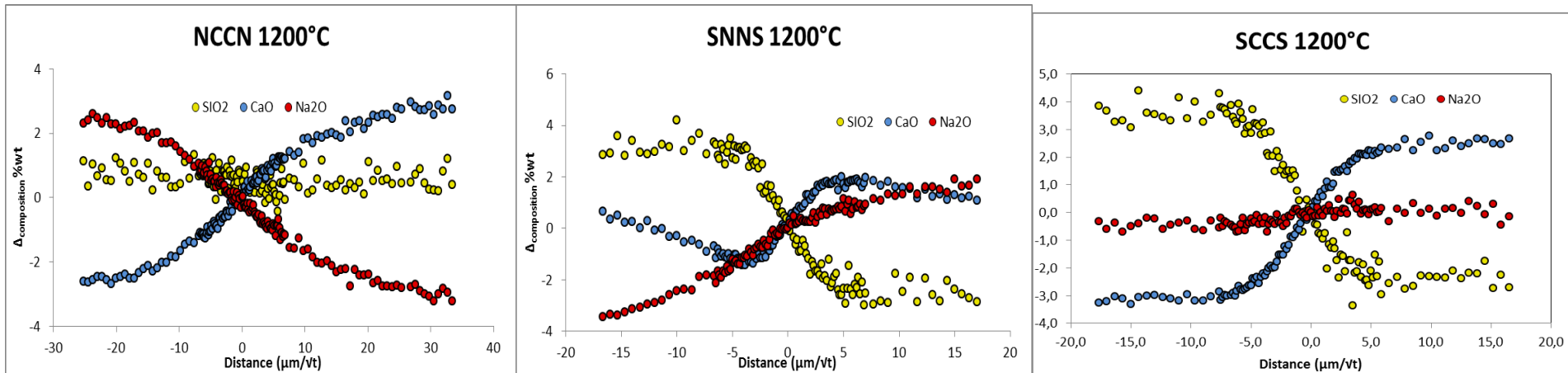
$$\frac{\partial}{\partial t} \begin{pmatrix} C_{Na} \\ C_{Ca} \\ C_{Si} \end{pmatrix} = \begin{pmatrix} D_{Na,Na} & D_{Na,Ca} & D_{Na,Si} \\ D_{Ca,Na} & D_{Ca,Ca} & D_{Ca,Si} \\ D_{Si,Na} & D_{Si,Ca} & D_{Si,Si} \end{pmatrix} \frac{\partial^2}{\partial x^2} \begin{pmatrix} C_{Na} \\ C_{Ca} \\ C_{Si} \end{pmatrix}$$



T, °C: 750, 1000, 1200, 1250, 1280

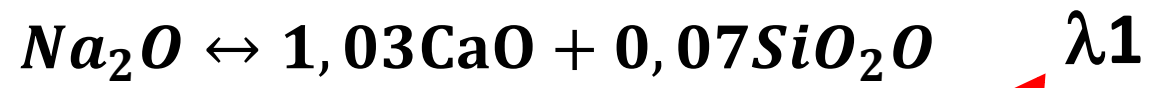
	Eléments de bases en pourcentage massique (%wt)		
	SiO <sub>2</sub>	CaO	Na <sub>2</sub> O
Verre central	70	13	17
SN	73 (+3)	13	14 (-3)
NS	67 (-3)	13	20 (+3)
SC	73 (+3)	10 (-3)	17
CS	67 (-3)	16 (+3)	17
NC	70	10 (-3)	20 (+3)
CN	70	16 (+3)	14 (-3)

# MODEL de DIFFUSION pour NCS



1000/T





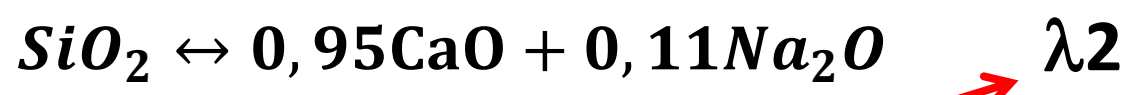
$$R_f = k_f a_{Na_2O}$$

$$R_r = k_r a_{CaO}^{1.03} a_{SiO_2}^{0.07}$$

$$R_{ech1} = \frac{k_f}{k_r} \frac{a_{Na_2O}}{a_{CaO}^{1.03} a_{SiO_2}^{0.07}} = \frac{\text{Cinétique}}{\text{Thermodynamique}}$$

Cinétique

1/Keq -> Thermodynamique



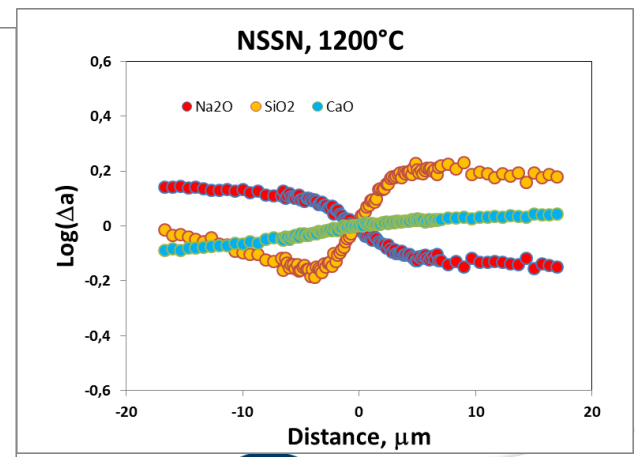
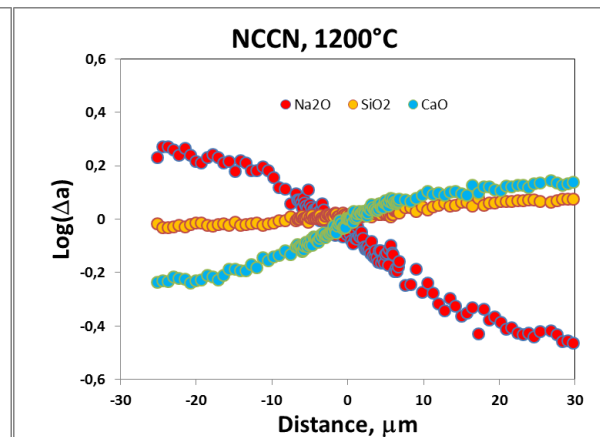
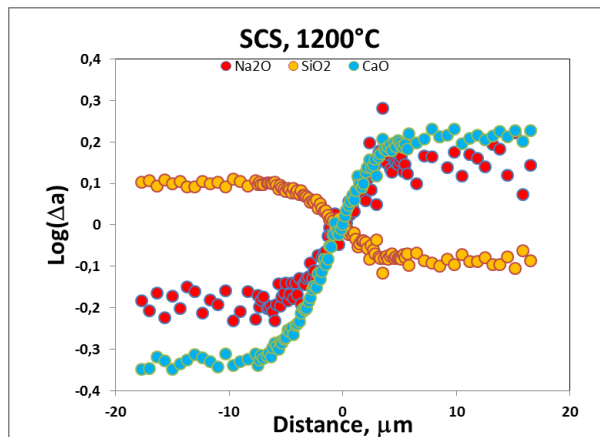
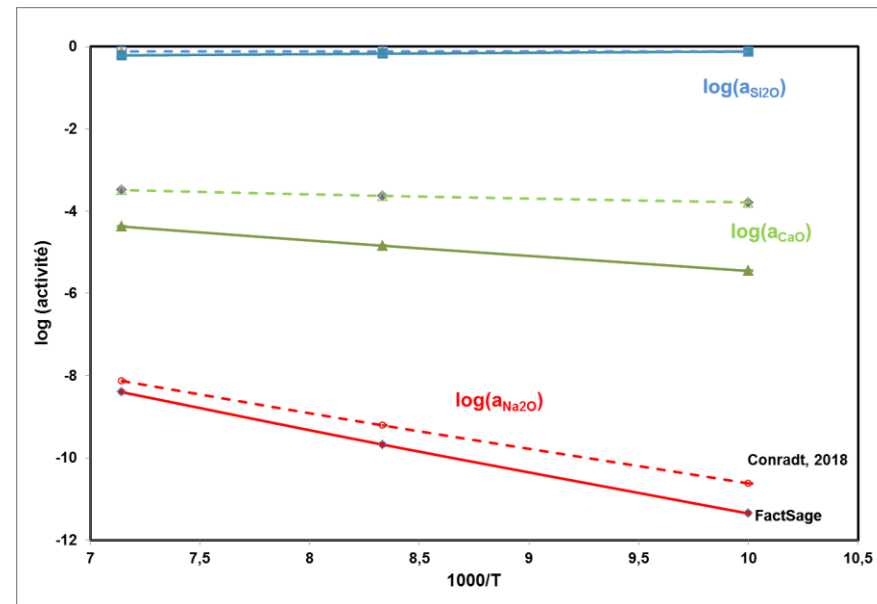
$$R_{ech2} = \frac{k_f}{k_r} \frac{a_{SiO_2}}{a_{CaO}^{0.95} a_{Na_2O}^{0.11}}$$





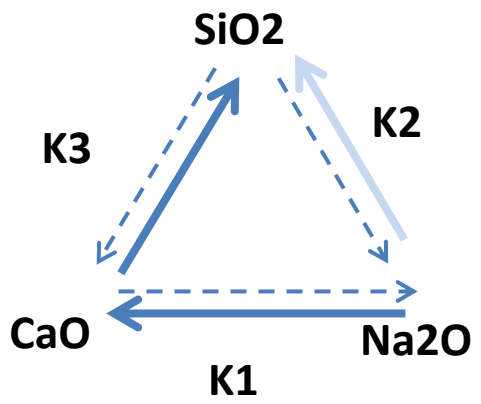
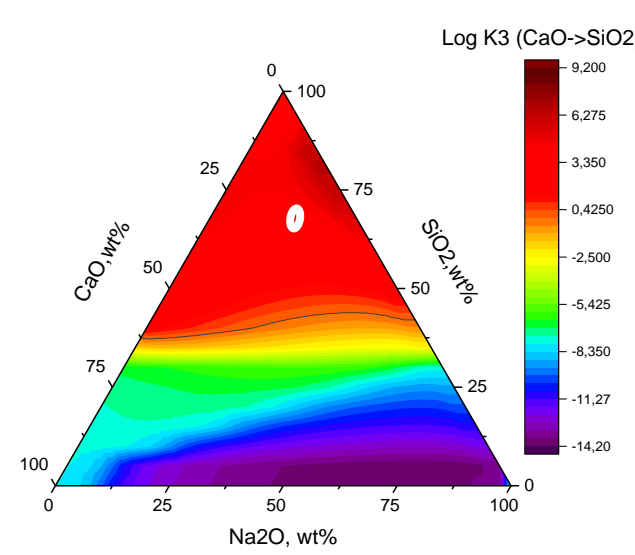
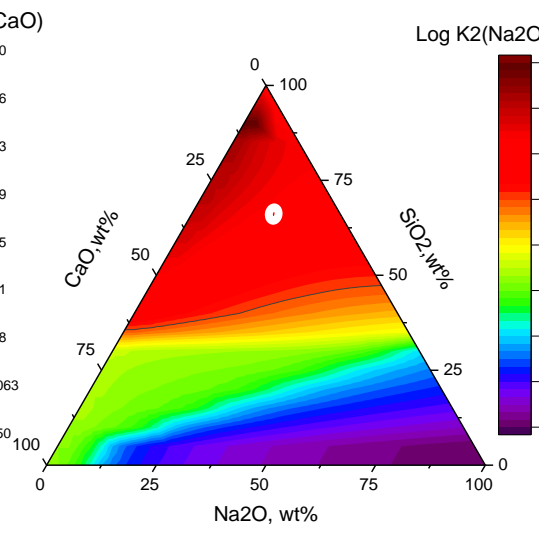
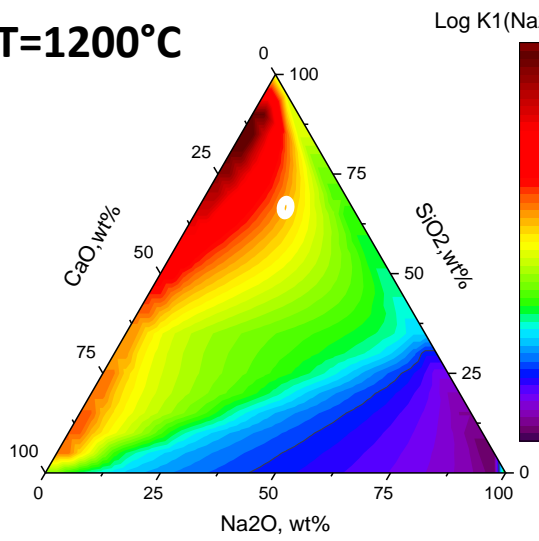


## Model Quasi-chimique des solutions



# MODEL de DIFFUSION pour NCS : ECHANGE BINAIRE

T=1200°C



**SiO2 70% Na2O 17% CaO 13%**

Log(K1)=4.86

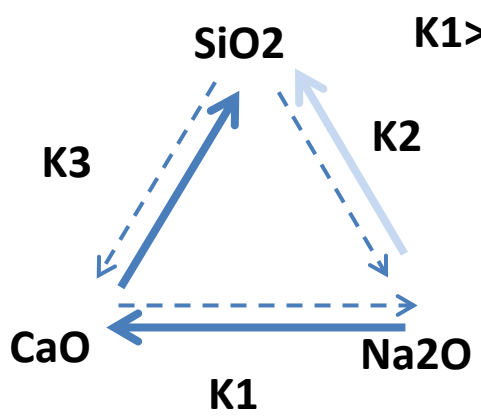
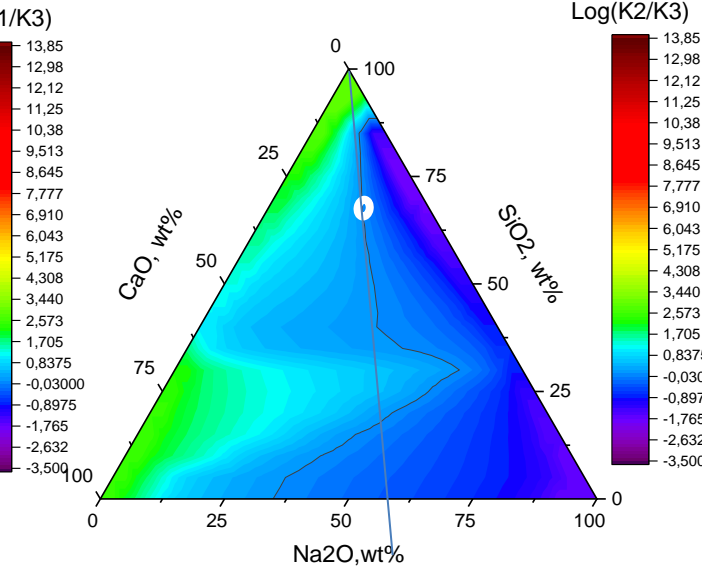
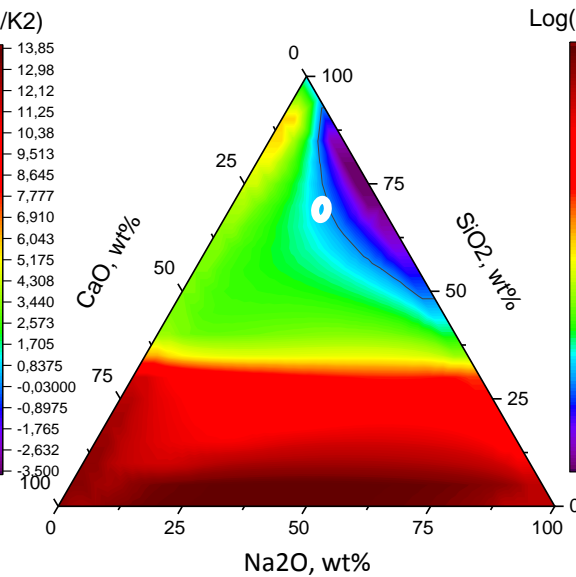
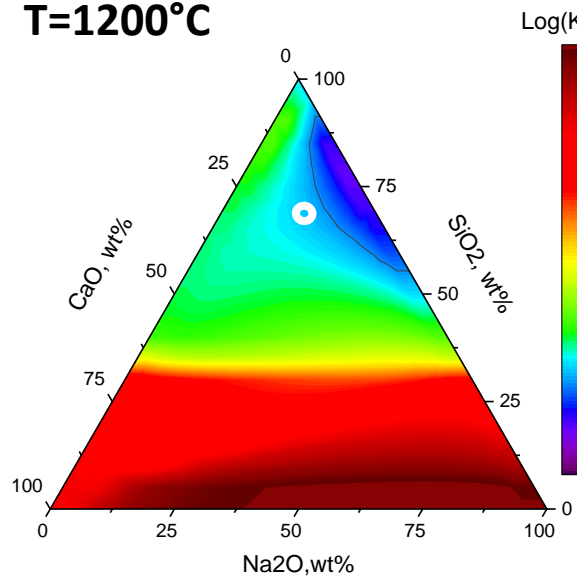
Log(K2)=8.90

Log(K3)=4.12



# MODEL de DIFFUSION pour NCS: ECHANGE BINAIRE

T=1200°C



$K1 > K2 > K3$

**SiO2 70% Na2O 17% CaO 13%**

**Log(K1/K2)=-4,86**

Echange Na2O->Ca est  $10^{4.86}$  plus probable que Na2O->SiO2

**Log(K1/K3)=0.73**

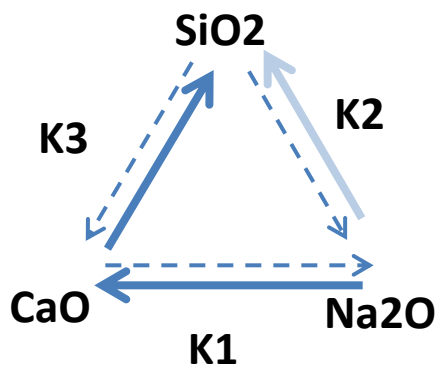
Echange CaO->0.5 SiO2 est  $10^{0.73}$  plus probable que Na2O->CaO

**Log(K2/K3)=4.7**

Echange CaO->SiO2 est  $10^{4.7}$  plus probable que Na2O->SiO2



# MODEL DE DIFFUSION NCS A PARTIR DES ECHANGES BINAIRES



SiO2 70% Na2O 17% CaO 13%

$R1/R2=10^{4.12}$

$R1/R3=5.37$

$R3/R2=10^{4.7}$

**Vecteur propre 1 :**

Na2O->CaO  $K1=a_{CaO}/a_{Na2O}$

Na2O->SiO2  $K2=a_{SiO2}/a_{Na2O}$

$R1/R2=10^{4.86}$

} Na2O ->CaO

*De matrice de diffusion :  $Na_2O \leftrightarrow 1,03CaO + 0,07SiO_2$  ( Notre)  
 $Na_2O \leftrightarrow 0,85CaO + 0,15SiO_2$  ( Trial and Spera, 1994)*

**Vecteur 2:**

Na2O->SiO2  $K2=a_{SiO2}/a_{Na2O}$

CaO->SiO2  $K3=a_{SiO2}/a_{CaO}$

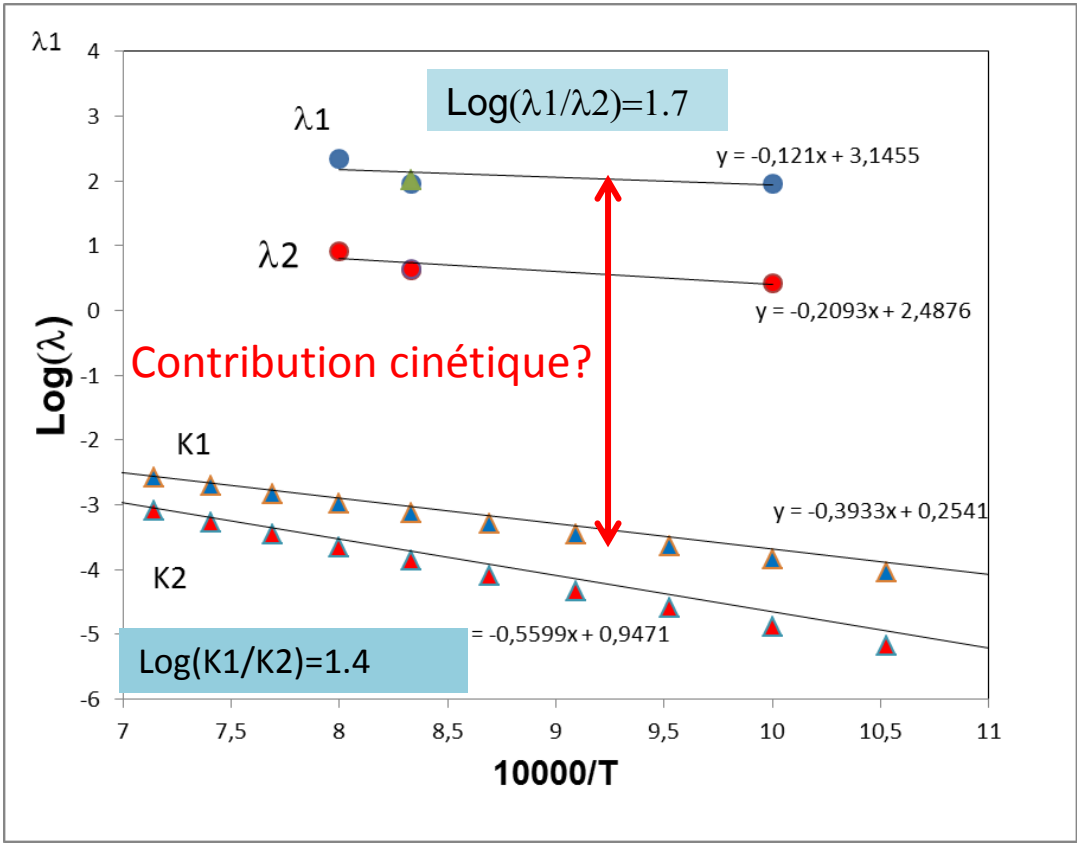
$R3/R2=10^{4.7}$

} CaO-> SiO2

*Diffusion experiment:  $SiO_2 \leftrightarrow 0,95CaO + 0,11Na_2O$   
 $SiO_2 \leftrightarrow 0,73CaO + 0,27Na_2O$  ( Trial and Spera, 1994)*



# MODEL de DIFFUSION pour NCS



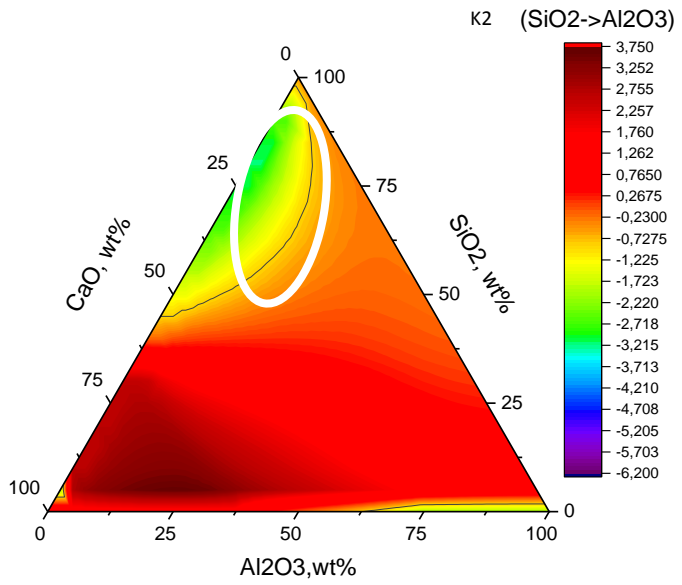
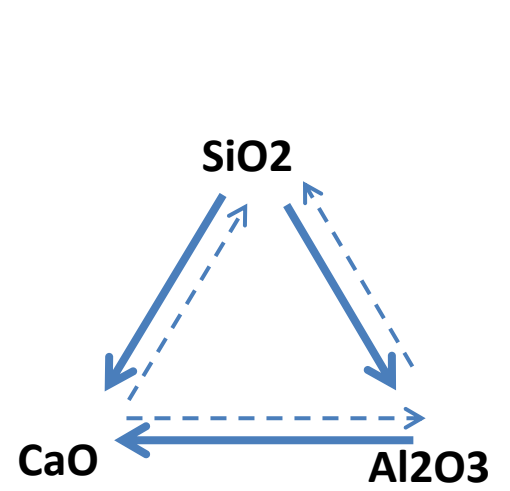
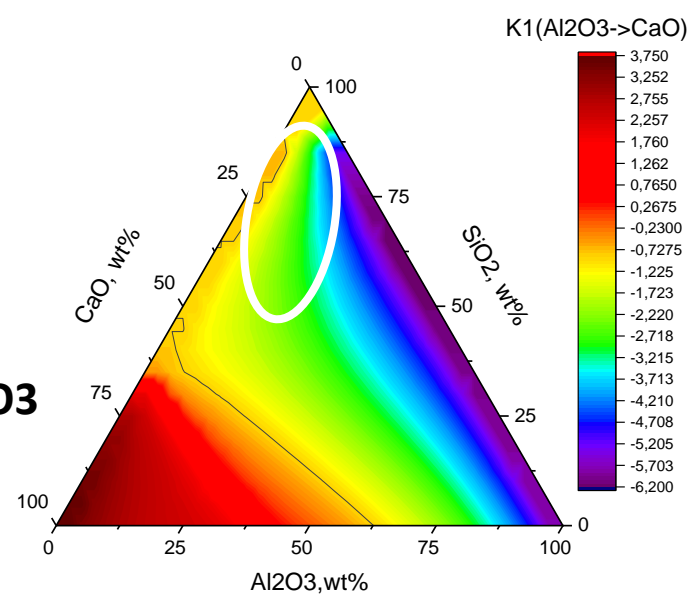
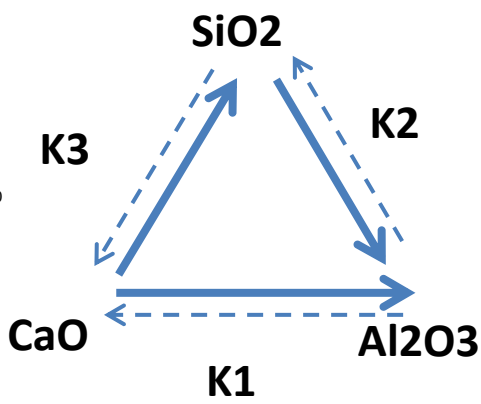
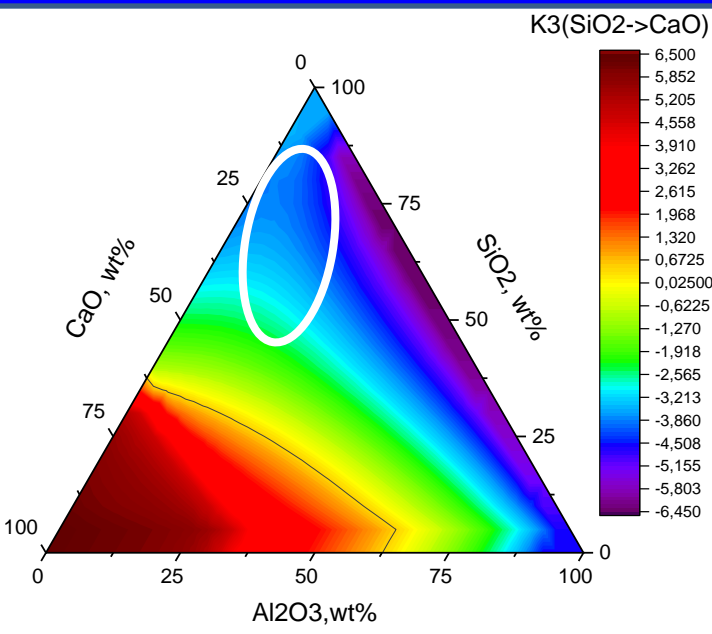
$$K_1 = \frac{a^{1.03}_{CaO} a^{0.07}_{SiO_2}}{a_{Na_2O}}$$



$$K_2 = \frac{a^{0.95}_{CaO} a^{0.11}_{Na_2O}}{a_{SiO_2}}$$



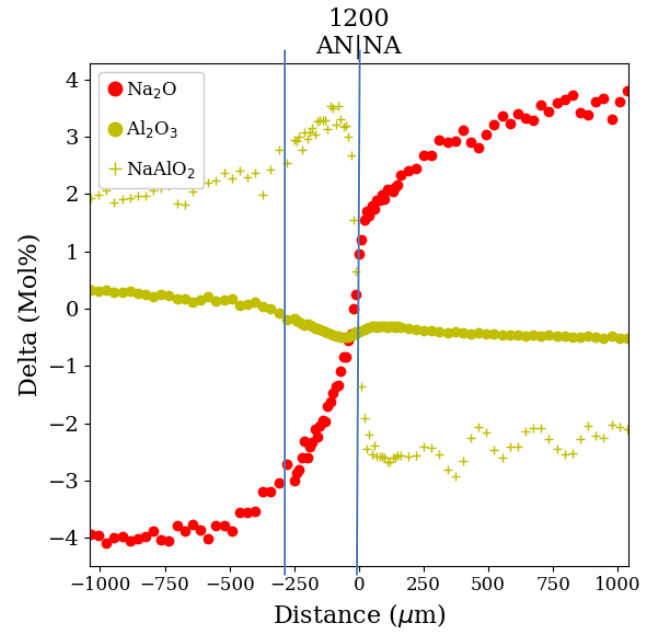
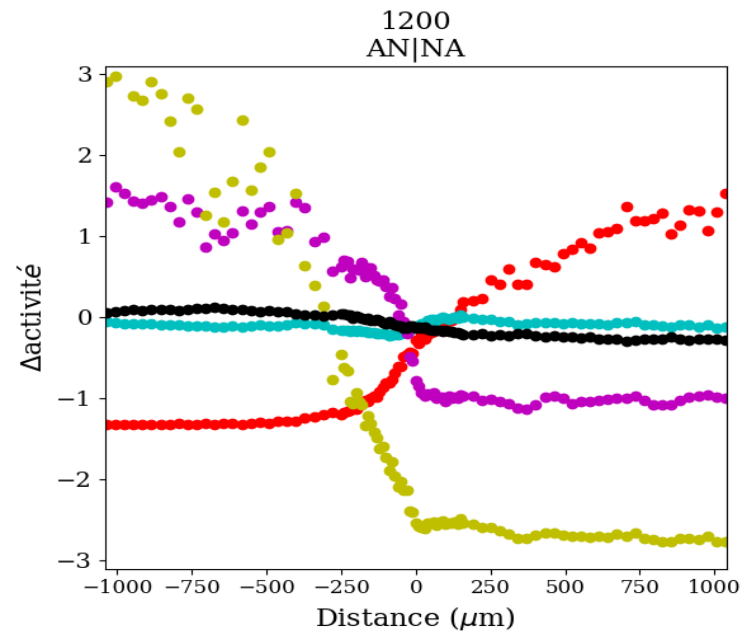
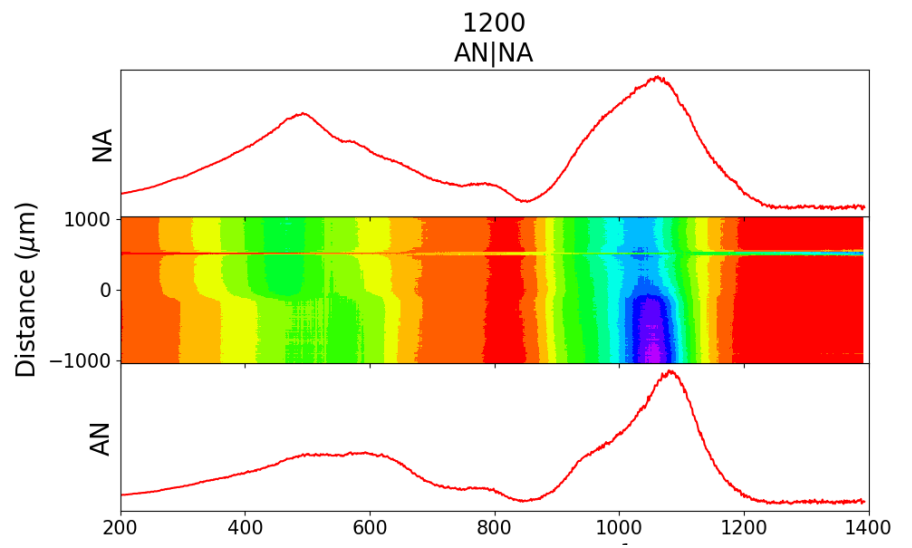
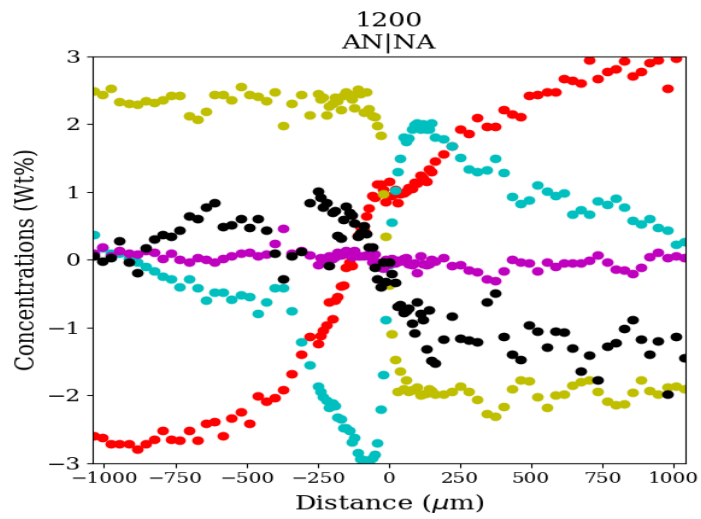
# MODEL de DIFFUSION pour CAS



Réaction obtenu à partir de th  
 $CaO \rightarrow 0,5Al_2O_3 + 0,5SiO_2$   
 $SiO_2 + 0,15CaO \rightarrow Al_2O_3$



# MODEL de DIFFUSION pour NCAZ



# Quelques conclusions et la suite

- Expériences de diffusion donnent une large gamme des compositions => Comment les utiliser pour les modèles thermodynamiques?
- Analyse thermodynamique d'une system donne une bonne première estimation des chemins de diffusion et l'efficacité de ces échanges
- Les valeurs propres de la matrice de diffusion contient une partie non-négligeable
- Continuer avancer vers le model de la diffusion dans une system multi composante contenant compte de gradient des forces chimiques (potentiels chimiques)

